

**SKRIPSI**

**PRA RANCANGAN PABRIK  
PEMBUATAN ALUMINIUM OKSIDA  
KAPASITAS 300.000 TON PER TAHUN**



**Siti Sarah**

NIM. 03031181621115

**Hendri Prasetyo**

NIM. 03031281621041

**JURUSAN TEKNIK KIMIA  
FAKULTAS TEKNIK  
UNIVERSITAS SRIWIJAYA  
2020**

## **SKRIPSI**

### **PRA RANCANGAN PABRIK PEMBUATAN ALUMINIUM OKSIDA KAPASITAS 300.000 TON PER TAHUN**

Diajukan untuk memenuhi salah satu syarat memperoleh gelar  
Sarjana Teknik Kimia  
pada Jurusan Teknik Kimia Fakultas Teknik  
Universitas Sriwijaya



**Siti Sarah**  
NIM. 03031181621115

**Hendri Prasetyo**  
NIM. 03031281621041

**JURUSAN TEKNIK KIMIA  
FAKULTAS TEKNIK  
UNIVERSITAS SRIWIJAYA  
2020**

HALAMAN PENGESAHAN

PRA RANCANGAN PABRIK PEMBUATAN  
ALUMINIUM OKSIDA KAPASITAS 300.000 TON PER TAHUN

SKRIPSI

Diajukan untuk melengkapi salah satu syarat  
Memperoleh gelar Sarjana

Oleh:

Siti Sarah                    03031181621115  
Hendri Prasetyo            03031281621041

Indralaya,      Juli 2020

Pembimbing,



Ir. Hj. Rosdiana Moekcim, M.T.  
NIP. 195608311984032002

Mengetahui,

Ketua Jurusan Teknik Kimia



Dr. Ir. H. Syaiful, DEA

NIP. 195810031986031003

## HALAMAN PERSETUJUAN

Karya tulis ilmiah berupa Skripsi dengan judul "Pra Rancangan Pabrik Pembuatan Aluminium Oksida Kapasitas 300.000 Ton Per Tahun" telah dipertahankan Siti Sarah dan Hendri Prasetyo di hadapan Tim Pengujji Sidang Tugas Akhir Jurusan Teknik Kimia Fakultas Teknik Universitas Sriwijaya pada tanggal 14 Juli 2020.

Inderalaya, Juli 2020

Tim Pengujji Karya Tulis Ilmiah Berupa Skripsi

1. Dr. Ir. Hj. Susila Arita, DEA

NIP. 196010111985032002

(.....) 21 Jul 2020  


2. Dr. Hj. Leily Nurul Komariah, S.T., M.T.

NIP. 197503261999032002

(.....) 22 Jul 2020  


3. Prahady Susmanto, S.T., M.T.

NIP. 198208042012121001

(.....) 23 Jul 2020  


Mengetahui,

Ketua Jurusan Teknik Kimia

  
Dr. Ir. N. Sviaful, DEA

NIP. 195810031986031003

## HALAMAN PERNYATAAN INTEGRITAS

Yang bertanda tangan dibawah ini:

Nama : Siti Sarah  
NIM : 03031181621115  
Judul Tugas Akhir : Pra Rancangan Pabrik Pembuatan Aluminium Oksida Kapasitas 300.000 Ton per Tahun  
Fakultas/Jurusan : Teknik/ Teknik Kimia

Menyatakan bahwa skripsi ini merupakan hasil karya Saya dan partner atas nama Hendri Prasetyo didampingi Pembimbing dan bukan hasil jiplakan atau plagiat. Apabila ditemukan unsur penjiplakan atau plagiat dalam skripsi ini, maka Saya bersedia menerima sanksi akademik dari Universitas Sriwijaya sesuai aturan yang berlaku.

Demikian pernyataan ini Saya buat dalam keadaan sadar dan tanpa ada paksaan dari siapapun.



Indralaya, 24 Juli 2020



Siti Sarah

NIM. 03031181621115

## HALAMAN PERNYATAAN INTEGRITAS

Yang bertanda tangan dibawah ini:

Nama : Hendri Prasetyo  
NIM : 03031281621041  
Judul Tugas Akhir : Pra Rancangan Pabrik Pembuatan Aluminium Oksida Kapasitas 300.000 Ton per Tahun  
Fakultas/Jurusan : Teknik/ Teknik Kimia

Menyatakan bahwa skripsi ini merupakan hasil karya Saya dan partner atas nama Siti Sarah didampingi Pembimbing dan bukan hasil jiplakan atau plagiat. Apabila ditemukan unsur penjiplakan atau plagiat dalam skripsi ini, maka Saya bersedia menerima sanksi akademik dari Universitas Sriwijaya sesuai aturan yang berlaku.

Demikian pernyataan ini Saya buat dalam keadaan sadar dan tanpa ada paksaan dari siapapun.



Indralaya, 24 Juli 2020



Hendri Prasetyo  
NIM. 03031281621041

## ABSTRAK

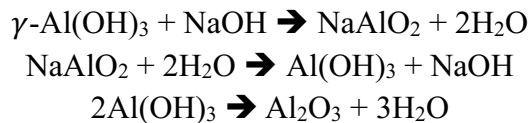
PRA RANCANGAN PABRIK PEMBUATAN ALUMINIUM OKSIDA,  
KAPASITAS 300.000 TON/TAHUN

Karya tulis ilmiah berupa Skripsi, 14 Juli 2020

Hendri Prasetyo dan Siti Sarah; Dibimbing oleh Ir. Hj. Rosdiana Moeksin, M.T.  
Jurusan Teknik Kimia, Fakultas Teknik, Universitas Sriwijaya  
xvi+200 Halaman, 16 tabel, 6 gambar, 3 lampiran

## ABSTRAK

Pabrik pembuatan aluminium oksida dengan kapasitas produksi 300.000 ton/tahun ini direncanakan didirikan pada tahun 2024 berlokasi di Desa Piasak Tayan Hilir Kabupaten Sanggau Kalimantan Barat, dengan luas area 13,96 ha. Proses pembuatan aluminium oksida ini mengacu pada WO2019086792, dimana metode proses yang digunakan adalah proses Bayer. Reaksi berlangsung dalam *continuous stirred tank reactor* (145 °C; 4,1 atm), *crystallizer* (50°C; 1 atm), dan *calciner* (1100°C; 1 atm),

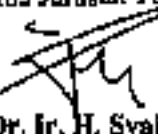


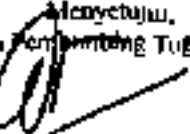
Pabrik ini berbentuk Perseroan Terbatas (PT) yang dipimpin oleh direktur utama. Sistem organisasi perusahaan ini adalah *line and staff* dengan total karyawan sebanyak 371 orang. Pabrik pembuatan aluminium oksida layak didirikan karena memenuhi persyaratan parameter ekonomi sebagai berikut:

- *Total Capital Investment* : US\$ 96.091.844,16
- *Pay Out Time* : 2,19 Tahun
- *Rate of Return of Investment* : 41,74 %
- *DCF-ROR* : 49,74 %
- *Break Event Point* : 39,65 %
- *Service Life* : 11 Tahun

**Kata Kunci:** Aluminium oksida, Proses Bayer, *Line and Staff*, Analisa Ekonomi

Indralaya, Juli 2020

Mengetahui,  
Ketua Jurusan Teknik Kimia  
  
Dr. Ir. H. Syaiful, DEA  
NIP. 195811031986031003

Menyetujui,  
Dosen Pembimbing Tugas Akhir  
  
Ir. Hj. Rosdiana Moeksin, M.T.  
NIP 195608311984032002

## **KATA PENGANTAR**

Puji syukur kehadirat Allah SWT. karena atas berkat, rahmat, dan karunia-Nya penulisan tugas akhir yang berjudul Pra Rancangan Pabrik Pembuatan Aluminium Oksida, Kapasitas 300.000 ton/tahun dapat diselesaikan dengan baik. Penulisan tugas akhir ini merupakan salah satu syarat yang harus dipenuhi untuk mengikuti ujian sarjana di Jurusan Teknik Kimia Fakultas Teknik Universitas Sriwijaya.

Dalam penggerjaan tugas akhir ini, bantuan dan bimbingan banyak didapatkan dari berbagai pihak. Oleh karena itu, ucapan terima kasih disampaikan kepada:

1. Bapak Dr. Ir. Syaiful, DEA., selaku ketua Jurusan Teknik Kimia Fakultas Teknik Universitas Sriwijaya.
2. Ibu Hj. Leily Nurul Komariah, S.T., M.T., selaku Sekretaris Jurusan Teknik Kimia Fakultas Teknik Universitas Sriwijaya.
3. Ibu Ir. Hj. Rosdiana Moeksin, M.T. selaku Dosen Pembimbing Tugas Akhir.
4. Seluruh Staff Dosen Jurusan Teknik Kimia Fakultas Teknik Universitas Sriwijaya.
5. Orang tua, keluarga, teman-teman, dan seluruh pihak yang terlibat dan turut membantu dalam penyelesaian tugas akhir ini.

Semoga laporan tugas akhir ini dapat dapat bermanfaat bagi semua pihak yang membaca.

Indralaya, Juli 2020

Penulis

## DAFTAR ISI

<b>HALAMAN JUDUL .....</b>	i
<b>KATA PENGANTAR .....</b>	ii
<b>DAFTAR ISI.....</b>	iii
<b>DAFTAR TABEL .....</b>	v
<b>DAFTAR GAMBAR .....</b>	vi
<b>DAFTAR NOTASI.....</b>	vii
<b>DAFTAR LAMPIRAN .....</b>	xiv
<b>BAB I PENDAHULUAN .....</b>	1
1.1. Latar Belakang .....	1
1.2. Sejarah dan Perkembangan Aluminium Oksida.....	2
1.3. Proses Pembuatan Aluminium Oksida .....	3
1.4. Sifat-sifat Fisika .....	5
<b>BAB II PERENCANAAN PABRIK .....</b>	9
2.1. Alasan Pendirian Pabrik.....	9
2.2. Penentuan Kapasitas Produksi .....	10
2.3. Pemilihan Bahan Baku .....	11
2.4. Pemilihan Proses .....	12
2.5. Uraian Proses Pembuatan Aluminium Oksida.....	13
<b>BAB III LOKASI DAN LETAK PERALATAN PABRIK .....</b>	17
3.1. Lokasi Pabrik.....	17
3.2. Tata Letak Pabrik .....	19
3.3. Luas Pabrik.....	20
<b>BAB IV NERACA MASSA DAN NERACA PANAS .....</b>	26
4.1. Neraca Massa .....	26
4.2. Neraca Panas .....	34

<b>BAB V UTILITAS .....</b>	39
5.1. Unit Pengadaan Air .....	39
5.2. Unit Pengadaan <i>Refrigerant</i> .....	44
5.3. Unit Pengadaan <i>Steam</i> .....	44
5.3. Unit Pengadaan Listrik .....	45
5.4. Unit Pengadaan Bahan Bakar .....	48
<b>BAB VI SPESIFIKASI PERALATAN .....</b>	51
<b>BAB VII ORGANISASI PERUSAHAAN.....</b>	88
7.1. Bentuk Organisasi Perusahaan .....	88
7.2. Struktur Organisasi Perusahaan .....	88
7.3. Tugas dan Wewenang .....	89
7.4. Kepegawaian .....	94
7.5. Sistem Kerja .....	94
7.6. Penentuan Jumlah Karyawan .....	95
<b>BAB VIII ANALISA EKONOMI.....</b>	101
8.1. Keuntungan ( <i>Profitability</i> ) .....	102
8.2. Lama Waktu Pengembalian Modal .....	103
8.3. Total Modal Akhir.....	104
8.4. Laju Pengembalian Modal ( <i>Rate of Return</i> ) .....	106
8.5. <i>Break Even Point</i> (BEP).....	107
<b>BAB IX KESIMPULAN .....</b>	110

**DAFTAR PUSTAKA**  
**LAMPIRAN**

## DAFTAR TABEL

	Halaman
<b>Tabel 1.1.</b> Sifat Fisika Udara.....	7
<b>Tabel 2.1.</b> Data Impor Aluminium Oksida.....	10
<b>Tabel 2.2.</b> Perbandingan Proses Pembuatan Aluminium Oksida.....	12
<b>Tabel 3.1.</b> Luas Area Pabrik .....	21
<b>Tabel 5.1.</b> Total Kebutuhan Bahan Penunjang di Unit Utilitas.....	39
<b>Tabel 5.2.</b> Total Kebutuhan Air.....	43
<b>Tabel 5.3.</b> Total Kebutuhan <i>Refrigerant</i> .....	44
<b>Tabel 5.4.</b> Kebutuhan <i>Saturated Steam</i> 100°C.....	44
<b>Tabel 5.5.</b> Kebutuhan <i>Saturated Steam</i> 162°C.....	44
<b>Tabel 5.6.</b> Total Kebutuhan <i>Steam</i> .....	45
<b>Tabel 5.7.</b> Kebutuhan Listrik Peralatan.....	45
<b>Tabel 5.8.</b> Total Kebutuhan Bahan Bakar .....	50
<b>Tabel 7.1.</b> Pembagian Jam Kerja Karyawan Shift.....	95
<b>Tabel 7.2.</b> Rincian Jumlah Karyawan Pabrik .....	97
<b>Tabel 8.1.</b> Angsuran Pengembalian Modal TCI .....	103
<b>Tabel 8.2.</b> Kesimpulan Analisa Ekonomi.....	109

## DAFTAR GAMBAR

<b>Gambar 2.1.</b>	Grafik Impor Aluminium Oksida di Indonesia .....	10
<b>Gambar 3.1.</b>	Lokasi Pembangunan Pabrik.....	22
<b>Gambar 3.2.</b>	<i>Layout Tata Letak Pabrik</i> .....	23
<b>Gambar 3.3.</b>	<i>Layout Tata Letak Peralatan</i> .....	24
<b>Gambar 8.1.</b>	Grafik BEP Pabrik Aluminium Oksida .....	102

## DAFTAR NOTASI

### 1. Heat Exchanger (Condenser, Cooler, Heater, Reboiler, Vaporizer)

W, w	: Laju alir massa di shell, tube, kg/jam
T <sub>1</sub> , t <sub>1</sub>	: Temperatur masuk shell, tube, °C
T <sub>2</sub> , t <sub>2</sub>	: Temperatur keluar shell, tube, °C
Q	: Beban panas, kW
U <sub>o</sub>	: Koefisien overall perpindahan panas, W/m <sup>2</sup> .°C
ΔT <sub>lm</sub>	: Selisih log mean temperatur, °C
A	: Luas area perpindahan panas, m <sup>2</sup>
ID	: Diameter dalam tube, m
OD	: Diameter luar tube, m
L	: Panjang tube, m
p <sub>t</sub>	: Tube pitch, m
A <sub>o</sub>	: Luas satu buah tube, m <sup>2</sup>
N <sub>t</sub>	: Jumlah tube, buah
V, v	: Laju alir volumetrik shell, tube, m <sup>3</sup> /jam
u <sub>t</sub> , u <sub>s</sub>	: Kelajuan fluida shell, tube, m/s
D <sub>b</sub>	: Diameter bundel, m
D <sub>s</sub>	: Diameter shell, m
N <sub>RE</sub>	: Bilangan Reynold
N <sub>PR</sub>	: Bilangan Prandtl
N <sub>NU</sub>	: Bilangan Nusselt
h <sub>i</sub> , h <sub>o</sub>	: Koefisien perpindahan panas shell, tube, W/m <sup>2</sup> .°C
I <sub>b</sub>	: Jarak baffle, m
D <sub>e</sub>	: Diameter ekivalen, m
k <sub>f</sub>	: Konduktivitas termal, W/m.°C
ρ	: Densitas, kg/m <sup>3</sup>
μ	: Viskositas, cP
C <sub>p</sub>	: Panas spesifik, kJ/kg.°C
h <sub>id</sub> , h <sub>od</sub>	: Koefisien dirt factor shell, tube, W/m <sup>2</sup> .°C

$k_w$	: Konduktivitas bahan, $W/m \cdot ^\circ C$
$\Delta P$	: Pressure drop, psi

## 2. Kompresor

$BHP$	: Brake Horse Power, power yang dibutuhkan, HP
$k$	: Konstanta Kompresi
$n$	: Jumlah stage
$\eta$	: Efisiensi kompressor
$P_{IN}$	: Tekanan masuk, bar
$P_{OUT}$	: Tekanan keluar, bar
$T_1$	: Temperatur masuk kompressor, $^\circ C$
$T_2$	: Temperatur keluar kompressor, $^\circ C$
$P_w$	: Power kompressor, HP
$Q$	: Kapasitas kompressor, lb/menit
$R_c$	: Rasio kompresi
$W$	: Laju alir massa, lb/jam
$\rho$	: Densitas, $kg/m^3$

## 3. Pompa

$A$	: Area alir pipa, $in^2$
$BHP$	: Brake Horse Power, HP
$D_{opt}$	: Diameter optimum pipa, in
$f$	: Faktor friksi
$g$	: Percepatan gravitasi $ft/s^2$
$g_c$	: Konstanta percepatan gravitas, $ft/s^2$
$H_d, H_s$	: Head discharge, suction, ft
$H_f$	: Total friksi, ft
$H_{fc}$	: Friksi karena kontraksi tiba-tiba, ft
$H_{fe}$	: Friksi karena ekspansi tiba-tiba, ft
$H_{ff}$	: Friksi karena fitting dan valve, ft
$H_{fs}$	: Friksi pada permukaan pipa, ft

ID	:	Diameter dalam, in
$K_C, K_E$	:	Konstanta kompresi, ekspansi, ft
L	:	Panjang pipa, m
$Le$	:	Panjang ekivalen pipa, m
MHP	:	Motor Horse Power, HP
NPSH	:	Net positive suction head, ft.lbf/lb
$N_{RE}$	:	Bilangan Reynold
OD	:	Diameter luar, in
$P_{uap}$	:	Tekanan uap, psi
$Q_f$	:	Laju alir volumetrik, $ft^3/s$
$V_d$	:	Discharge velocity, ft/s
$V_s$	:	Suction velocity, ft/s
$\epsilon$	:	Equivalent roughness, ft
$\eta$	:	Efisiensi pompa
$\mu$	:	Viskositas, kg/ms
$\rho$	:	Densitas, $kg/m^3$

#### 4. Reaktor

$C_c$	:	Tebal korosi maksimum, in
$C_{AO}$	:	Konsentrasi awal umpan, $kmol/m^3$
$D_p$	:	Diameter katalis, m
$D_s$	:	Diameter shell, m
$D_t$	:	Diameter tube, in
$F_{AO}$	:	Laju alir umpan, $kmol/jam$
$H_R$	:	Tinggi shell reaktor, m
$H_T$	:	Tinggi tube, m
$k$	:	Konstanta kecepatan reaksi, $m^3/kmol.s$
$N_t$	:	Jumlah tube, buah
$P$	:	Tekanan operasi, bar
$\tau$	:	Waktu tinggal, jam
$p_t$	:	Tube pitch, in

S	: Tegangan kerja yang diizinkan, psi
t	: Tebal dinding reaktor, cm
$V_k$	: Volume katalis, m <sup>3</sup>
$V_T$	: Volume reaktor, m <sup>3</sup>
$\rho, \rho_k$	: Densitas fluida, katalis, kg/m <sup>3</sup>
R	: Konstanta gas ideal, 8,314 kJ/kmol.K
$\sigma_A$	: Diameter molekul, cm
M	: Berat molekul, kg/kmol
$E_A$	: Energi aktivasi, kJ/kmol
$V_E$	: Volume ellipsoidal, m <sup>3</sup>
$H_S$	: Tinggi silinder, m
h	: Tinggi tutup
$H_T$	: Tinggi total tanki, m
$H_L$	: Tinggi liquid, m
$H_i$	: Tinggi impeller, m
Di	: Diameter impeller, m
Wb	: Lebar Baffle, m
g	: Lebar baffle pengaduk, m
r	: Panjang blade pangaduk, m
rb	: Posisi baffle dari dinding tanki, m

## 5. Flash Drum

A	: Area, m <sup>2</sup>
a	: Luas permukaan <i>demister</i> , m <sup>2</sup> /m <sup>3</sup>
D, $D_V$	: Diameter, m
$D_d$	: Diameter target, m
$D_w$	: Diameter <i>wire demister</i> , m
$F_{DP}$	: Faktor <i>pressure drop</i>
H	: Tinggi demister, m
$H_V$	: Tinggi <i>vessel</i> , m
$H_{LN}$	: Jarak <i>top liquid</i> ke <i>nozzle</i> , m

$H_{TN}$	: Jarak <i>top vessel</i> ke <i>nozzle</i> , m
$H_L$	: Tinggi <i>liquid</i> , m
K	: Faktor kecepatan
$L_v$	: Panjang <i>vessel</i> horizontal, m
$N_s$	: Bilangan separasi
$Q_G$ , $Q_V$	: Laju alir uap, $m^3/jam$
$Q_L$	: Laju alir liquid, $m^3/jam$
t	: Waktu tinggal, s
u	: Kecepatan minimun, m/s
$V_S$	: Volume <i>shell</i> , $m^3$
$V_H$	: Volume <i>head</i> , $m^3$
$V_v$	: Volume <i>vessel</i> , $m^3$
$W_G$	: Laju alir uap, kg/jam
$W_L$	: Laju alir liquid, kg/jam
$\rho_G$	: Densitas uap, $kg/m^3$
$\rho_L$	: Densitas liquid, $kg/m^3$
$\rho_w$	: Densitas demister, $kg/m^3$
$\eta_w$	: <i>Fractional collection</i>

## 6. Belt Conveyor

F	: Faktor friksi, <i>dimensionless</i>
L	: Panjang konveyer, ft
$Lo$	: Faktor belt, <i>dimensionless</i>
S	: Kecepatan belt aktual, ft/min
T	: Kapasitas Belt, ton/jam
$\Delta Z$	: Beda Tinggi, ft
t	: Waktu tempuh antar <i>pulley</i>
W	: Berat idler, lb/ft

## 7. Blower

Q	: Laju Alir Volumetrik, $ft^3/s$
OD	: Outside diameter, in

ID	: Inside diameter, in
$\rho$	: Densitas, kg/m <sup>3</sup>
v	: Kecepatan udara , ft/s
P	: Daya yang digunakan, HP
$\eta$	: Efisiensi, %

## 8. Silo Tangki

G	: Laju Alir Massa, kg/jam
Vt	: Kapasitas tangki
$\rho_s$	: Densitas zat, kg/m <sup>3</sup>
g	: Percepatan gravitasi, kg/m <sup>3</sup>
$d_{eff}$	: Diameter effektif keluaran silo, m
H	: Tinggi tangki, m
h	: Tinggi <i>conical</i> , m
Ht	: Tinggi total tangki, m
D	: Diameter tangki, m
PD	: Tekanan desain silo tangki, psi
ts	: Tebal silinder, in
P	: Tekanan design, psi
r	: Jari-jari kolom, ft
f	: <i>Working stress allowable</i> , psia
E	: <i>Welding Joint Efficiency</i>
C	: Faktor korosi, in

## 9. Tangki

C	: Tebal korosi yang diizinkan, m
D <sub>T</sub>	: Diameter tanki, m
E	: Efisiensi penyambungan, dimensionless
H <sub>s</sub>	: Tinggi silinder, m
H <sub>T</sub>	: Tinggi tanki, m
h	: Tinggi head, m
P	: Tekanan operasi, atm

S	: Working stress yang diizinkan, atm
t	: Tebal dinding tanki, m
$V_s$	: Volume silinder, $m^3$
$V_e$	: Volume elipsoidal, $m^3$
$V_t$	: Volume tanki, $m^3$

## **DAFTAR LAMPIRAN**

**LAMPIRAN 1.** Tugas Khusus

**LAMPIRAN 2.** Paten Utama

**LAMPIRAN 3.** Biodata Penulis

## **BAB I**

### **PENDAHULUAN**

#### **1.1. Latar Belakang**

Aluminium oksida dimanfaatkan sebagai bahan baku pembuatan aluminium. Sebagian besar aluminium oksida digunakan sebagai bahan baku Industri Peleburan Aluminium seperti PT. Indonesia Asahan Aluminium di Sumatera Utara. Aluminium oksida dapat diproses menjadi berbagai produk keramik konvensional, keramik *advance*, dan *refractory* pada berbagai industri di Indonesia. Fungsi lain dari aluminium oksida diantaranya adalah sebagai amplas kasar atau halus akibat memiliki kekerasan yang baik serta retensi panas yang rendah. Aluminium oksida yang transparan digunakan dalam beberapa lampu. Aluminium oksida juga dapat digunakan sebagai katalis reaksi dalam beberapa industri (proses *claus* mengonversi gas hidrogen sulfida menjadi sulfur).

Berdasarkan sumber yang didapatkan, bahwa perusahaan yang memproduksi aluminium oksida di Indonesia diantaranya adalah PT. Well Harvest Winning Aluminium Oksida Refinery. PT Well Harvest Winning Aluminium Oksida Refinery di Kalimantan Barat merupakan pabrik aluminium oksida pertama dan terbesar di Indonesia yang mengolah mineral bauksit di Kalimantan menjadi aluminium oksida dengan kapasitas satu juta ton per tahun. Saat ini, PT Aneka Tambang dan PT Indonesia Asahan Aluminium (Inalum) telah melakukan perancangan untuk mendirikan pabrik pengolahan bauksit di Kalimantan Barat. Proyek ini ditargetkan untuk menekan jumlah impor.

Produksi yang ada sekarang tidak cukup untuk memenuhi kebutuhan Aluminium Oksida di Indonesia. Untuk mencukupi kebutuhan aluminium oksida, Indonesia melakukan impor aluminium oksida dari luar negeri seperti Australia, China, dan India, jumlah impor mencapai 600.000 ton/tahun (BPS, 2019). Oleh karena itu, diperlukannya pendirian pabrik aluminium oksida untuk memenuhi kebutuhan aluminium oksida di Indonesia. Selain itu, pendirian pabrik aluminium oksida diharapkan dapat meningkatkan jumlah ekspor ke negara lain, penghematan devisa negara, dan memperluas lapangan pekerjaan.

## 1.2. Sejarah dan Perkembangan

Proses produksi Aluminium oksida dan Aluminium hidroksida dilakukan pertama kali dengan proses *sinter* yang ditemukan oleh ilmuwan Perancis, Louis Le Chatelier, pada tahun 1855. Pada proses ini bauksit direaksikan dengan Natrium Karbonat ( $\text{NaCO}_3$ ) yang kemudian menjadi Natrium Aluminium Oksidat. Proses selanjutnya adalah tahap dekomposisi Aluminium Oksida menggunakan proses (karbonatasi). Pada awalnya produksi Aluminium Oksida digunakan untuk industri tekstil. Kebutuhan Aluminium Oksida kemudian meningkat ketika digunakan sebagai bahan baku produksi aluminium menggunakan proses *Hall-Heroult* (Hudson, 2004).

Tahun 1888, ilmuwan Austria K. J. Bayer mengembangkan proses sinter dari Le Chatelier yang dinamakan proses Bayer. Proses ini mendapat respon positif dari dunia industri dan menggantikan proses termal yang digunakan untuk memproduksi Aluminium Oksida. Proses Bayer pada awalnya menggunakan  $\text{Na}_2\text{CO}_3$ , seperti proses termal pada proses *leaching*. Hingga pada tahun 1892, Bayer mengembangkan *pressure leaching* dengan  $\text{NaOH}$  (Habashi, 1995).

Proses asam mulai dikembangkan pada tahun 1910 hingga 1930. Proses ini menggunakan bahan baku *non bauxite* material berupa anortosit, kaolin, dan tanah liat. Proses asam cukup populer pada tahun 1970 hingga 1980 dikarenakan adanya inflasi pada bauksit. Pada dasarnya proses ini menggunakan prinsip *acid-leaching* untuk mengesktraksi Aluminium Oksida. Asam sulfat merupakan senyawa yang paling banyak digunakan. Asam sulfat sangat efektif untuk proses *acid-leaching* dan ekonomis. Proses ini menghasilkan *crude* Aluminium Oksida yang terkontaminasi dengan besi yang kemudian dimurnikan (Seyuta, 2013).

Menurut Scarsella (2015), sekitar 80% produksi Aluminium Oksida di dunia menggunakan proses Bayer, 14 % menggunakan proses Sinter atau dengan modifikasi proses Sinter dan Bayer, dan 3 % menggunakan bahan baku selain bauksit, salah satu contohnya *nepheline*. Proses Bayer lebih banyak dipilih karena konsumsi energinya lebih rendah dibandingkan proses yang lain. Konsumsi energi proses Bayer rata-rata 12 GJ/ton sedangkan proses Sinter mengkonsumsi energi 22 GJ/ton. Menurut Adamek (2001) pengembangan proses produksi Aluminium Oksida saat ini berfokus pada pengembangan proses yang efisien, pemanfaatan sumber daya efektif, efisiensi energi, pengolahan residu dan *recovery*.

### 1.3. Macam – macam Proses Pembuatan Aluminium Oksida

Secara umum, Aluminium Oksida dibuat dengan proses asam dan proses basa. Ada tiga macam metode yang dilakukan untuk memproduksi Aluminium Oksida dengan proses Basa yang digunakan yaitu proses Sinter, proses *Nepheline-based*, dan proses Bayer (Luo (2008), dalam Maulinda dan Patmawati (2017)).

#### 1.3.1. Proses Asam

Proses asam mulai dikembangkan pada tahun 1910 hingga 1930. Proses ini menggunakan bahan baku *non bauxite material* berupa anortosit, kaolin, dan tanah liat. Pada dasarnya proses ini menggunakan prinsip *acid-leaching* untuk mengeskstraksi Aluminium Oksida. Asam sulfat merupakan senyawa yang paling banyak digunakan. Asam sulfat efektif untuk proses *acid-leaching* dan ekonomis. Proses ini menghasilkan *crude* Aluminium Oksida yang terkontaminasi besi yang kemudian dimurnikan. Pemurnian Aluminium Oksida dapat dilakukan dengan berbagai cara, contohnya untuk bahan baku tanah liat menggunakan K<sub>2</sub>SO<sub>4</sub>.

Proses asam dapat juga dilakukan dengan ekstraksi menggunakan pelarut *di-(2-etipgeksal) phosphoric acid* dalam kerosin. Penambahan gas SO<sub>2</sub> juga dapat memurnikan besi dengan merubah ion besi dari Fe<sup>3+</sup> menjadi Fe<sup>2+</sup>. Keunggulan proses ini adalah dapat mengekstraksi Aluminium Oksida dengan kemurnian hingga 99,9%. Kekurangan proses adalah proses pencucian kristal dari *mother liquor* sangat kompleks sehingga membutuhkan energi yang sangat besar.

#### 1.3.2. Proses Basa

Proses basa adalah proses ekstraksi Aluminium Oksida dengan penambahan senyawa alkali, soda kaustik atau soda abu, dengan tujuan membuat larutan Aluminium Oksida yang *supersaturated* sehingga terbentuk kristal Aluminium Oksida. Menurut perkembangannya dapat dibagi menjadi tiga yaitu:

##### a) Proses Sinter

Proses sinter ditemukan oleh ilmuwan Perancis Le Chatelier pada tahun 1854 yang kemudian dikembangkan oleh G. Muller pada tahun 1880 yang dinamakan proses sinter. Pada proses ini bauksit direaksikan dengan natrium karbonat (Na<sub>2</sub>CO<sub>3</sub>) yang kemudian menjadi natrium aluminat. Proses selanjutnya adalah tahap dekomposisi alumina menggunakan karbon (karbonatisasi).

Aluminium Oksida yang terbentuk selanjutnya masuk ke dalam proses filtrasi dan kalsinasi. Keuntungan proses ini adalah dapat mengolah bahan baku berkualitas rendah, dan pada pengembangannya dapat menggunakan *non-bauxite material* seperti batu kapur dan tanah liat. Namun proses ini memiliki kekurangan jika menggunakan bahan baku dengan alkalinitas rendah dapat menurunkan *yield*, memerlukan energi yang besar dan pada saat ini natrium karbonat tidak ekonomis (Senyuta, 2013).

b) Proses *Nepheline-based*

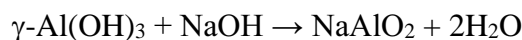
Proses ini dinamakan proses *nepheline-based* yang banyak digunakan di Rusia, sekitar dua juta ton alumina diproduksi dari *nepheline* di Rusia. Nepheline ( $\text{Na}_3\text{KAl}_4\text{Si}_4\text{O}_{16}$ ) adalah mineral silika yang memiliki kandungan secara teoritis berupa 34,2%  $\text{Al}_2\text{O}_3$ , 40,3%  $\text{SiO}_2$ , dan 25,5%  $\text{Na}_2\text{O}+\text{K}_2\text{O}$ , dapat dijadikan bahan baku alumina dengan campuran batu kapur. Proses ini memiliki keunggulan dapat menghasilkan produk samping *gray mud* yang dapat dijadikan bahan baku semen. *Gray mud* merupakan produk samping dari proses *leaching nepheline* dan batu kapur dengan alkali karbonat. Namun, karena bahan baku mengandung kadar silika yang tinggi sehingga perlu dilakukan *desilicification* yaitu pemisahan sodium silikat pada aluminat liquor. Proses ini memiliki keuntungan yaitu menghasilkan *by-product* berupa *gray mud*,  $\text{Na}_2\text{CO}_3$ ,  $\text{K}_2\text{CO}_3$  (Baudet, 1977).

c) Proses Bayer

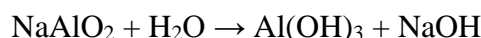
Proses Bayer pertama kali ditemukan pada tahun 1888 oleh ilmuan Austria Karl Josef Bayer. Proses ini mengalami pengembangan di tahun 1892 dengan penggantian soda abu menjadi soda kaustik dan proses sintering digantikan proses *pressure leaching*. Pada dasarnya proses Bayer dapat dibagi menjadi tiga tahap, yaitu tahap *digestion* (ekstraksi), tahap *precipitation* (kristalisasi) dan tahap kalsinasi. Tahap *digestion* (ekstraksi) adalah mereaksikan bauksit dengan  $\text{NaOH}$  (soda kaustik) sehingga terbentuk sodium aluminat yang kemudian disebut *digestion liquor*. Tahap presipitasi adalah proses pembentukan kital hidrat aluminium trihidroksida (*gibbsite*) dari *digestion liquor*. Tahap ini merupakan kebalikan dari tahap ekstraksi, namun pada tahap ini perlu penambahan bahan alumina trihidrat untuk memicu terbentuknya kristal. Pada tahap kalsinasi terjadi

penguapan hidrat hingga menjadi alumina. Pada tahap ini hidrat dipanaskan pada suhu 1050°C (Seecharan, 2010). Reaksi yang terjadi pada proses Bayer dapat diuraikan sebagai berikut.

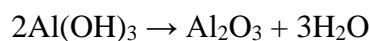
- Tahap ekstraksi



- Tahap kristalisasi



- Tahap kalsinasi



Proses Bayer memiliki kelebihan yaitu konsumsi energi relatif rendah dibandingkan proses lain yaitu 12 GJ/ton alumina. Proses Bayer dapat menghasilkan kemurnian alumina yang tinggi (>93%) dengan konsumsi energi yang rendah, Namun proses Bayer akan tidak ekonomis jika menggunakan bahan baku bauksit yang memiliki kadar silika yang tinggi (Senyuta, 2013).

#### **1.4. Sifat-sifat Fisika Senyawa**

Zat kimia memiliki karakteristik masing-masing yang membedakan suatu zat dengan zat lain, akan tetapi tidak sedikit pula zat-zat yang mempunyai persamaan sifat dengan zat lain sehingga dapat dimasukkan dalam satu golongan. Karakteristik zat ini akan menentukan bagaimana zat tersebut dapat dimanfaatkan.

Sifat-sifat suatu zat dapat dibagi menjadi sifat fisika dan sifat kimia. Adapun sifat fisika dari zat yang digunakan sebagai berikut:

##### **1.4.1. Bauksit**

Rumus kimia	: $\gamma\text{-Al(OH)}_3$
Berat molekul	: 101,9613 kg/kmol
Bentuk kristal	: Trigonal
Wujud	: Padat
Warna	: Merah kekuningan
Densitas (32,15°C)	: 2420 kg/m <sup>3</sup>
Kapasitas panas	: 0,2 Kkal/kmol
Titik didih	: 2210°C
Titik leleh	: 1999-2032°C

#### 1.4.2. Natrium Hidroksida

Rumus kimia	: NaOH
Berat molekul	: 39,9972 gram/mol
Wujud	: Cair
Warna	: Tidak Berwarna
Densitas	: 2130 kg/m <sup>3</sup>
Tekanan kritis	: 253,31 bar
Temperatur kritis	: 2820 K
Titik didih	: 1390 K

#### 1.4.3. Air

Rumus kimia	: H <sub>2</sub> O
Berat molekul	: 18,0154 gram/mol
Wujud	: Cair
Warna	: Tidak Berwarna
Densitas	: 998 kg/m <sup>3</sup>
Tekanan kritis	: 220,55 bar
Temperatur kritis	: 647,13 K
Titik didih	: 100°C

#### 1.4.4. Kalsium Oksida

Rumus kimia	: CaO
Berat molekul	: 56,0774 kg/kmol
Wujud	: <i>crystalline solid</i>
Warna	: Putih
Densitas	: 3340 kg/m <sup>3</sup>
$\Delta H_f$	: -635,0900 kJ/mol
Titik didih	: 2.850°C
Titik leleh	: 2.572°C

#### 1.4.5. Karbon Dioksida

Rumus Molekul	: CO <sub>2</sub>
Berat Molekul	: 44,00 gr/mol
Fase	: Gas

Warna	: Tidak bewarna
$\Delta H_f$	: -393,5200 kJ/mol
Titik Didih	: - 78,5 °C
Titik beku	: -56,6 °C
Densitas	: 1,153 kg/m <sup>3</sup>
Energi Pembentukan	: - 393,77 KJ/mol
Energi Bebas	: -22,6224 KJ/mol

#### 1.4.6. Udara

Udara miliki persentase N<sub>2</sub> : O<sub>2</sub> = 79 : 21 (%mol)

Sifat fisika udara

**Tabel 1.1.** Sifat Fisika Udara

<b>Sifat</b>	<b>N<sub>2</sub></b>	<b>O<sub>2</sub></b>
Kenampakan	Tidak berbau	Tidak berbau
Berat molekul (kg/mol)	28,031	32,01
<i>Specific gravity</i>	12,5	1,71
Titik didih (°C)	-195,9	-1833
Titik beku (°C)	-209,68	-214,8
Suhu kritis (K)	126,2	154,6
Tekanan Kritis (bar)	3,3	50,5
Volume kritis (m <sup>3</sup> /mol)	0,089	0,73
Density (kg/m <sup>3</sup> )	809	1149

(Sumber: Perry, 1997)

#### 1.4.7. Sodium Aluminium Oksidat

Rumus kimia	: NaAlO <sub>2</sub>
Berat molekul	: 81,9706 kg/kmol
Wujud	: Powder
Warna	: Putih
Densitas	: 1500 kg/m <sup>3</sup>
Titik didih	: 115°C
Titik leleh	: 1800°C
$\Delta H_f$	: -1133,2000 kJ/mol

#### 1.4.8. Aluminium Hidroksida

Rumus kimia	: Al(OH) <sub>3</sub>
Berat molekul	: 78,0042 kg/kmol
Wujud	: Cair
Warna	: Tidak Berwarna
Densitas (25°C)	: 2373 kg/m <sup>3</sup>
Viskositas	: 1,7 Cp
Titik leleh	: 300°C
$\Delta H_f$	: -1276,5553 kJ/mol

#### 1.4.9. Aluminium Oksida

Rumus kimia	: Al <sub>2</sub> O <sub>3</sub>
Berat molekul	: 101,9622 kg/kmol
Wujud	: Granular
Warna	: Putih
Densitas	: 3950 kg/m <sup>3</sup>
Tekanan kritis	: 50,43 bar
Temperatur kritis	: 5335,00 K
Titik didih	: 3253,15 K
Titik leleh	: 2072°C
$\Delta H_f$	: -1675,6900 kJ/mol

## DAFTAR PUSTAKA

- Ahmad, A., dkk. 2015. *Production of 100 Tons/Day Aluminium Metal from Bauxite*. Department of Chemical Engineering Comsats Institute of Information Technology.
- ALS Group. *Bauxite*. (Online). (Diakses pada 07 November 2019).
- Amalia, D., dan Aziz, M. 2011. Percobaan Pendahuluan Pembuatan Alumina Kualitas Metalurgi dari Bauksit Kalimantan Barat. *Jurnal Teknologi Mineral dan Batubara*. 7(4): 183 – 191.
- Amalia, D., dkk. 2014. Kinetic Analysis for Aluminium Dissolution of West Kalimantan Bauxite Through Digestion Process. *Indonesian Mining Journal*. 17(2): 98 – 112.
- Amalia, D., dkk. 2014. Pengaruh Ukuran Partikel, Suhu, Stoikiometri NaOH Terhadap Ekstraksi Alumina dan Kandungan Silika Terlarutnya dari Bauksit Kalimantan Barat (Skala Laboratorium). *Jurnal Teknologi Mineral dan Batubara*. 10(2): 69 – 81.
- Babaheidary, M. B., dan Farhadi, F. 2002. Mechanism and Estimation of  $\text{Al(OH)}_3$  Crystal Growth. *Journal of Crystal Growth*. 234: 721 – 739.
- Badan Pusat Statistik. 2019. *Data Impor Aluminium Oksida di Indonsia*. (Online). [http://www.bps.go.id/all\\_newtemplate.php/](http://www.bps.go.id/all_newtemplate.php/) (Diakses pada tanggal 27 Oktober 2019).
- Brown, G. G. *Unit Operations*. CBS Publishers & Distributors: New Delhi.
- Brownell, L. E., dan Young, E. H. 1959. *Process Equipment Design Vessel Design*. John Willey and Sons, Inc: United States of America.
- Coulson, J. M., dan F. Richardson. 2015. *Chemical Engineering, 6th Volume, 4th Edition*. Elsevier: Inggris.
- Couper, J. R., dkk. 2012. *Chemical Process Equipment Selection and Design Third Edition*. Butterworth-Heinemann: United States of America.
- Donaldson, D., dan Raahauge, B. 2013. *Essential Readings in Light Metals Volume 1 Alumina and Bauxite*. John Willey and Sons, Inc: New Jersey.

- Feeco International. 2019. *The Rotary Kiln Handbook*. Feeco International, Inc: United States of America.
- Fuerstenau M. C., dan Han, K. N. 2010. *Principles of Mineral Processing*. Society for Mining, Metallurgy, and Exploration, Inc: United States of America.
- Hudson, L. K., dkk. 2012. *Ullmann's Encyclopedia of Industrial Chemistry*. Wiley: United States of America.
- Husaini, dkk. 2016. Pelarutan Bijih Bauksit dengan Soda Kaustik (NaOH) menjadi Larutan Sodium Aluminat (NaAlO<sub>2</sub>) Skala Pilot. *Jurnal Teknologi Mineral dan Batubara*. 12(3): 149 – 159.
- Kern, D. Q. 1965. *Process Heat Transfer*. McGraw Hill: Singapura.
- Kirk, R. E., dan P. Othmer. 1967. *Encyclopedia of Chemical Technology, International Student Edition*. McGraw Hill Kogakusha Company Ltd: Tokyo.
- Levenspiel, O. 1972. *Chemical Reaction Engineering, 2nd Edition*. Jhon Wiley and Sons: USA.
- McCabe, W. L., dkk. 1993. *Unit Operations of Chemical Engineering Fifth Edition*. McGraw-Hill Internation Editions: Singapore.
- Mubarok, Z. 2014. *Kinetics Analysis for Aluminum Dissolution of West Kalimantan Bauxite Through Digestion Process*.
- Overcash. 2010. *Aluminium Oxide from Bayer Process, Metallurgical Grade*. USA.
- Patmawati, R. E., dan Maulinda, A. 2017. Pabrik Smelter Grade Alumina (SGA) dari Bauksit dengan Proses Bayer. Departemen Teknik Kimia Industri Fakultas Vokasi Institut Teknologi Sepuluh Noverember.
- Perry, R. H., dan Green, D. W. 1997. *Perry's Chemical Engineers' Handbook Seventh Edition*. McGraw-Hill:United States of America.
- Peter, M. S., dan K.D. Timmerhaus. 1991. *Plant Design and Economics for Chemical Engineering 4th Edition*. McGraw Hill: Singapura.
- Sherwin. 1950. Extractive Metallurgy of Alumina. *Jour. Metals*. 188(4).
- Svarovsky, L. 2000. Solid – Liquid Separation Fourth Edition. Butterworth-Heinemann: Oxford.

Treybal, R. E. 1980. *Mass – Transfer Operation Third Edition*. McGraw Hill: New York.

Ulrich, G. D. 1984. *A Guide to Chemical Engineering Process Design and Economics*. John Wiley and Sons, Inc: Canada.

US Patent 2,852,343. *Process for Treating Aluminous Ores* (30 September 1954).

WO 2019086792. *Method for Processing Bauxite* (29 Oktober 2018).

Yaws, C. L. 1999. *Chemical Properties Handbook*. McGraw Hill: Singapura.